### XXXIII, № 1, 1980

УДК 541 (64+127:547.538.141)

# КИНЕТИКА ЭМУЛЬСИОННОЙ ПОЛИМЕРИЗАЦИИ МЕТИЛМЕТАКРИЛАТА, ИНИЦИИРОВАННОЙ СИСТЕМОЙ ПЕРСУЛЬФАТ—АМИН

#### **II. О МЕХАНИЗМЕ ИНИЦИИРОВАНИЯ**

#### А. С. АСЛАНЯН, Н. М. БЕЙЛЕРЯН Н С. О. НАЛЧАДЖЯН

Ереванский государственный университет

Поступило 411 III 1979

Изучена скорость инициирования системами персульфат калпя—триэтаноламин при полимеризации метилметакрилата в водных эмульсиях анионактивного эмульгатора E-30. На основании зависимости скорости инициирования от  $[P]_0$  и  $[A]_0$  показано полное отсутствие «насыщения» слоев эмульгатора инициатором. Установлено, что

$$k_{\text{mH}} = 9 \cdot 10^{10} \exp(-16900/RT) \text{ M}^{-1} \cdot \text{mum}^{-1}$$

Рис. 4, табл. 2, библ. ссылок 10.

Положения мицеллярной теории эмульсионной полимеризации развиты в основном Смитом и Эвартом [1] и Медведевым [2, 3].

Согласно теории Смита и Эварта, водорастворимые инициаторы (персульфаты) распадаются в водной фазе. Образовавшиеся первичные радикалы диффундируют в мищеллы эмульгатора, где инициируется полимеризация. В дальнейшем процесс развивается в полимерно-мономерных частицах. Из этой теории следует, что

$$W_{\text{nos}} \sim [I]_0^{0,4} \cdot [\Im M]_0^{0,6}$$

где  $W_{\text{пол}}$  — скорость полимеризации,  $[I]_{\text{с}}$  и  $[\Im_{\text{м}}]_{\text{0}}$  — начальные концентрации инициатора и эмульгатора. Однако в ряде случаев было установлено, что

$$W_{\text{mod}} \sim [I]_0^{1/2} \cdot [\Im M]_0^{1/2}$$

В [4] нами показано, что при эмульснонной полимеризации метилметакрилата, когда концентрации инициатора высокие, скорость полимеризации перестает зависеть от [/]<sub>0</sub>. Эти факты трудно объяснить на основании положений теории Смита и Эварта.

Согласно теории Медведева [2], в принципе возможен распад инициатора в слоях эмульгатора, где происходит и инициирование, и рост

цепи. С целью объяснения «насыщения» скорости полимеризации от [/]<sub>0</sub> Медведев [3] предполагает распределение инициатора между водной фазой и слоями эмульгатора.

В некоторых случаях насыщение по инициатору объясняется тем, что процесс протекает или на поверхности [3], или в слое, образуемом молекулами эмульгатора [5, 6].

Если верны предположения Медведева [2, 3] и Мелконяна [5, 6] о возможности насыщения слоев эмульгатора молекулами инициатора, то с увеличением [/] надо было ожидать уменьшения порядка элементарной реакции инициирования по инициатору от 1 до 0.

При изучении кинетики эмульсионной полимеризации стирола, инициированной системами персульфат—триэтил-, диэтилэтанол-, этилдиэтанол- и триэтаноламины, авторами работ [7, 8] установлено следующее: а) порядки суммарной скорости полимеризации по компонентам инициатора (по персульфату и аминам) уменьшаются от 0,5 до 0 с увеличением их начальных концентраций; б) скорость инициирования по персульфату и аминам в большом интервале изменения их начальных концентраций первого порядка. Эти данные указывают на то, что гипотезу об адсорбции молекул инициаторов на поверхности слоев мицелл нельзя считать строго обоснованной.

В случае полимеризации акриламида, инициированной вышеуказанными окислительно-восстановительными системами, показано отсутствие влияния Е-30 на суммарную окорость полимеризации и, в частности, на скорость инициирования [9].

В данном сообщении изложены кинетические данные по механизму инициирования эмульсионной полимеризации метилметакрилата, полученные при применении инициирующей системы персульфат калия—триэтаноламин.

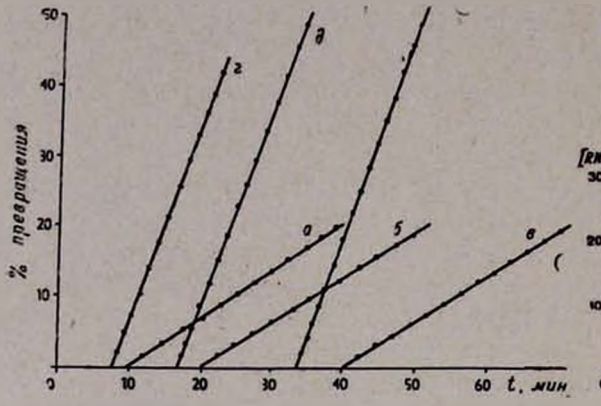
# Изложение экспериментальных данных и их обсуждение

Методика эксперимента и способ очистки исходных веществ описаны в [4].

Скорость инициирования в отсутствие триэтаноламина. Методом ингибирования изучалось влияние мицелл анионактивного эмульгатора (Эм) пентадецилсульфоната натрия на скорость распада персульфата калия. В качестве ингибитора использовался иминоксильный стабильный свободный радикал (RNO). Опыты проводились при следующих условиях:  $[P]_0 = 2.5 \cdot 10^{-3}$  моль/л,  $[RNO]_0 = (2.5 + 10) \cdot 10^{-6}$  моль/л,  $[Эм]_0 = 2^0/_0$  (по весу воды),  $[Moh]_0 = 33^0/_0$ ,  $t = 55^\circ$ .

Из рис. 1 (кр. а, б, в,) и кр. а рис. 2 следует, что для данного случая RNO—эффективный ингибитор.

В табл. 1 приведены значения константы инициирования при четырех температурах.



[RNO], 10°, 110 20 10 0 10 20 30 40 €, 110

Рис. 1. Кинетические кривые полимеризации ММА при условнях:  $[P]_0 = 2.5 \cdot 10^{-3}$  моль/л.  $[9M]_0 = 2^0/_0$ ,  $[MoH]_0 = 33^0/_0$ ,  $t = 55^{\circ}$ C.  $a = [RNO]_0 = 2.5 \cdot 10^{-6}$  моль/л,  $\sigma = [RNO]_0 = 10 \cdot 10^{-6}$  моль/л,  $[MoH]_0 = 33^0/_0$ ,  $[P]_0 = [A]_0 = 2.5 \cdot 10^{-8}$  моль/л,  $[9M]_0 = 2^0/_0$ ,  $t = 35^{\circ}$ C,  $z = [RNO]_0 = 0.5 \cdot 10^{-5}$  моль/л,  $\partial = [RNO]_0 = 1 \cdot 10^{-5}$  моль/л,  $\partial = [RNO]_0 = 1 \cdot 10^{-5}$  моль/л.

Рис. 2. Зависимость индукционных периодов от концентрации [RNO]<sub>0</sub> при условиях  $a-t=55^\circ$ , [P]<sub>0</sub>=2,5·10<sup>-3</sup> моль/л, [MoH]<sub>0</sub>=33°/<sub>0</sub>, [Эм]<sub>0</sub>=2°/<sub>0</sub>,  $\sigma-t=35^\circ$ , [P]<sub>0</sub>=[A]<sub>0</sub>=2,5·10<sup>-3</sup> моль/л, [MoH]<sub>0</sub>=33°/<sub>0</sub>, [Эм]<sub>0</sub>=2°/<sub>0</sub>.

 $[P]_0=4\cdot10^{-3}$ ,  $[RN\dot{O}]_0=2.5\cdot10^{-6}$  моль/л,  $[\Im M]_0=2^0/0$ ,  $[MOH]_0=33^0/0$ ,  $t=40-55^\circ$ 

t, °C	40	45	50	55
k <sub>нн</sub> · 105, M <sup>-1</sup> · мин <sup>-1</sup>	1,39	3,12	6,25	12,5

Из этих данных следует

$$k_{\text{MH}(A=0)} = 6.1 \cdot 10^{15} \exp(-29000/RT)$$
 мин<sup>-1</sup>

что совпадает с данными, полученными Кольтгофом и Миллером при распаде Р в водных растворах при рН 7 ( $k^{40^{\circ}} = 1,55 \cdot 10^{-5} \, \text{мин}^{-1}$ ) [10].

Это указывает на то, что мицеллы анионактивного эмульгатора и метилметакрилат практически не оказывают влияния на скорость инициирования полимеризации, т. е. на скорость распада персульфата.

Скорость иниципрования в присутствии триэтаноламина. Для определения окорости иниципрования в присутствии триэтаноламина применялся тот же стабильный радикал RNO.

Опыты ставились при условиях:  $[RNO]_0 = (0.5 + 2) \cdot 10^{-5}$ ,  $[P]_0 = [A]_0 = 2.5 \cdot 10^{-3}$  моль/л,  $[\Im M]_0 = 2^0/_0$ ,  $[MoH]_0 = 33^0/_0$ ,  $t = 35^\circ$ .

Из рис. 1 (кр. г, д, е) и кр. в рис. 2 следует, что и в присутствии триэтаноламина RNO применим. На рис. З показана зависимость  $(V_{\rm нв})$  от  $[P]_0$ . Аналогичная картина получена и с триэтаноламином.

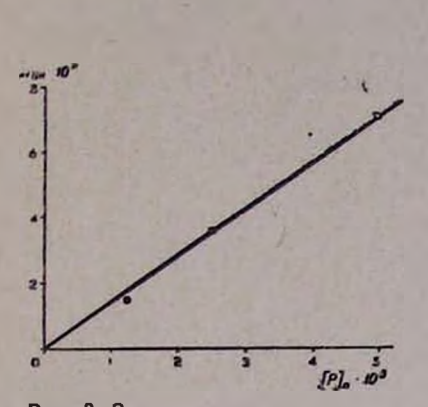


Рис. 3. Зависимость скорости инициирования от концентрации персуаьфата калия:  $[Moh]_0 = 33^{\circ}/_{0}$ .  $[RNO]_0 = 1 \cdot 10^{-5}$  моль/л,  $[A]_0 = 2.5 \cdot 10^{-3}$  моль/л,  $[9m]_0 = 2^{\circ}/_{0}$ ,  $t = 30^{\circ}$ .

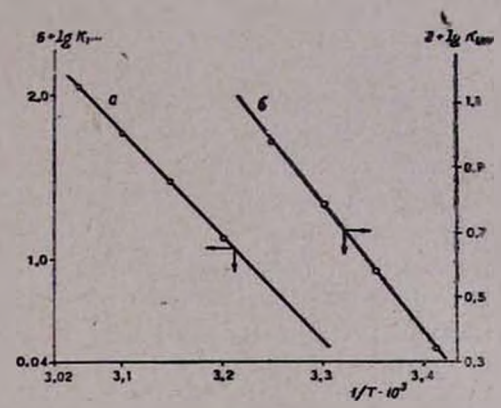


Рис. 4. Температурная зависимость  $K_{\rm HH}$  в Аррениусовских координатах: a — без амина. Условня опытов:  $[{\rm Moh}]_0=33^{\circ}/_{\rm o}$ ,  $[{\rm P}]_0=4\cdot 10^{-8}$  моль/л,  $[{\rm RNO}]_0=2,5\cdot 10^{-6}$  моль/л,  $E_{\rm HH}=28.95$  ккал/моль,  $[{\rm 9M}]_0=20/_{\rm o}$ .  $\delta$  — с амином. Условня опытов:  $[{\rm Moh}]_0=33^{\circ}/_{\rm o}$ ,  $[{\rm P}]_0=[{\rm A}]_0=2,5\cdot 10^{-8}$  моль/л,  $E_{\rm RH}=16.85$  ккал/моль,  $[{\rm 9M}]_0=2^{\circ}/_{\rm o}$ .

По концентрационным зависимостям рассчитаны значения константы инициирования.

$$k_{\text{RR}} = \frac{W_{\text{RR}}}{[P]_0 \cdot [A]_0} = \frac{[\text{RNO}]_0}{\tau [P]_0 \cdot [A]_0} \tag{2}$$

Данные по зависимости  $k_{\rm HH}$  от температуры приведены в табл. 2.

Таблица 2 Условня опытов:  $[\text{Мон}]_0 = 33^{\circ}/_{\circ}$ ,  $[\text{RNO}]_0 = 1 \cdot 10^{-5}$  моль/л,  $[\Im \text{м}]_0 = 2^{\circ}/_{\circ}$ ,  $[P]_0 = [A]_0 = 2.5 \cdot 10^{-3}$  моль/л

<i>t,</i> °C	20	25	30	35
k <sub>мн</sub> ·10 <sup>3</sup> , М <sup>-1</sup> ·мин <sup>-1</sup>	2,16	3,80	5,93	9,41

Полученные данные удовлетворяют уравнению Аррениуса (рис. 4). В присутствии триэтаноламина

$$k_{\text{HH}(A)} = 9.0 \cdot 10^{10} \exp(-16900/RT) \text{ Muh}^{-1}$$
 (3)

Значения энергий активации акта инициирования в отсутствие и в присутствии триэтаноламина позволяют рассчитать важную для неразветвленных радикально-цепных реажций величину.

$$E_{\rm p}-rac{1}{2}\,E_{
m o6}=19-rac{29}{2}=4,5\,$$
 ккал/моль при  $[A]_{
m o}=0$  
$$E_{
m p}-rac{1}{2}\,E_{
m o6}=9,45-rac{1}{2} imes16,9=1\,$$
 ккал/моль

при налични триэтаноламина в реакционной среде.

Таким образом, изучение зависимости скорости инициирования от начальных концентраций компонентов окислительно-восстановительной системы персульфат калия—триэтаноламин показывает, что она выражается уравнением (2), аналогичным полученному для инициирования эмульсионной полимеризации стирола [7, 8]. Следовательно, утверждение об адсорбции инициатора слоями мищелл и представления о насыщении молекулами компонентов инициирующих систем не являются строгими. Об этом свидетельствуют данные [4] по изучению механизма инициирования, а именно, в условиях нашего эксперимента порядок реакции инидиирования по Р и А первый и не меняется. Это дает право полагать, что, во-первых, нет адсорбции компонентов инициирующей системы на поверхности мицелл; во-вторых, первичные радикалы генерируются в водной фазе; в-третьих, природа мономера не играет роли в механизме инициирования эмульсионной полимеризации при использовании водорастворимых инициаторов.

## ՊԵՐՍՈՒԼՖԱՏ–ԱՄԻՆ ՀԱՄԱԿԱՐԳՈՎ ՀԱՐՈՒՑՎԱԾ ՄԵԹԻԼ– ՄԵՏԱԿՐԻԼԱՏԻ ԷՄՈՒԼՍԻՈՆ ՊՈԼԻՄԵՐՄԱՆ ԿԻՆԵՏԻԿԱ

II. ՀԱՐՈՒՑՄԱՆ ՄԵԽԱՆԻԶՄԻ ՄԱՍԻՆ

u. v. uviursur, r. v. pbsippsur & v. 2. ruigussur

Ելային կոնցենտրացիաների մեծ տիրույթում ինհիբման մեթոդով որոշված է հարուցման ակտի արագության կախումը պերսուլֆատից, տրիէթանոլամինից և անիոնակտիվ էմուլգատորից (նատրիումի դոդեցիլսուլֆոնատ)։ Ուսումնասիրությունները կատարված են տարբեր ջերմաստիճաններում։

$$k_{\text{twg}} = 9 \cdot 10^{10} \exp(-16900/RT) \text{ M}^{-1} \text{ pnugb}^{-1}$$

Պարզված է, որ միցելների շերտերը շղթայի հարուցման օջախ չեն հանդիսանում, քանի որ չեն «հագենում» հարուցիչի բաղադրիչներով։

## KINETICS OF EMULSION POLYMERIZATION OF METHYLMETHACRYLATE INITIATED WITH PERSULPHATE-AMINE SYSTEMS

II. ON THE MECHANISM OF CHAIN INITIATION

A. S. ASLANIAN, N. M. BEYLER! AN and S. H. NALCHAJIAN

The temperature dependence of the chain initiation rate in a wide range of potassium persulphate, triethanolamine initial concentrations and

in the presence of the anionic detergent sodium dodecylsulphonate has been studied at different temperatures. It has been found that

$$K_{\rm in} = 9 \cdot 10^{10} \exp \cdot (-16900/RT) M^{-1} \cdot min^{-1}$$
.

It has been established that no "saturation" of emulsifier layers by persulphate ions and triethanolamine molecules occurs.

#### ЛИТЕРАТУРА

- 1. W. V. Smith, J. Am. Chem. Soc., 70, 3695 (1948).
- 2. S. S. Medvedev, Coll. Czech. Chem. Comm., 22, 174 (1957).
- 3. C. C. Medsedea, в кн. \*Kinetics and Mechanism of Polyreactions\*, Budapest 1971, 39.
- 4. А. С. Асланян, Н. М. Бейлерян, С. О. Налчаджян, Арм. хим. ж., 32, 699 (1979).
- 5. Л. Г. Мелконян, Э. Л. Шакарян, Apm. хим. ж., 22, 873 (1969).
- 6. Л. Г. Мелконян, Уч. зап. ЕГУ, № 1, 25 (1970).
- 7. Д. Д. Григорян, Н. М. Бейлерян, Высокомол. соед., 16Б, 540 (1974).
- 8. Д. Д. Григорян, Р. М. Аколян, Н. М. Бейлерян, Высокомол. соед., 20Б, 888 (1978).
- 9. Р. М. Акопян, Н. М. Бейлерян, Арм. хим. ж., 32, 92 (1979).
- 10. Н. М. Бейлерян, А. Г. Хачатрян. О. А. Чалтыкян, Арм. хим. ж., 23, 575 (1970)

